

多发性骨髓瘤患者骨髓组织中微小 RNA-17-5p 和 PTEN 表达及意义

刘 靛¹, 蔡晓辉², 王 婷², 邓晓兰¹, 孟 芳¹, 朱 灵¹

(1. 东南大学附属中大医院无锡分院, 江苏 无锡 214000;

2. 常州市第二人民医院, 江苏 常州 213100)

摘要: [目的] 研究多发性骨髓瘤(multiple myeloma, MM)患者骨髓液中微小 RNA(miRNA, miR)-17-5p 及磷酸酶和张力蛋白同源物(phosphatase and tensin homolog, PTEN)的表达及其临床意义。[方法] 采用荧光实时定量 PCR 检测 82 例 MM 患者及 40 例健康人群骨髓组织中 miR-17-5p 及 PTEN 的表达, 统计学分析两组间表达差异以及两者与临床病理特征之间关系。[结果] 与对照组相比, MM 组患者骨髓组织中 miR-17-5p 表达量明显较高, 而 PTEN 表达量明显较低($t=15.365, 11.647, P$ 均 <0.001)。MM 组患者骨髓组织中 miR-17-5p 及 PTEN 表达与 D-S 分期、髓外浸润有关($t=9.713, 3.147, 8.901, 2.259, P=0.000, 0.002, 0.000, 0.027$)。MM 组患者骨髓组织中 miR-17-5p 与 PTEN 表达呈负相关($r=-0.611, P<0.001$)。化疗前、后 MM 患者骨髓中 miR-17-5p、PTEN 的相对表达量无显著性差异($t=1.590, 1.439, P=0.114, 0.152$)。化疗有效患者化疗后 miR-17-5p 表达较化疗前明显较低($t=2.149, P=0.034$), 而 PTEN 表达明显较高($t=2.252, P=0.026$)。[结论] MM 患者骨髓组织中 miR-17-5p 表达升高, 而 PTEN 表达降低, 两者与 D-S 分期、髓外浸润有关, 有望成为 MM 诊断治疗的标志物。

关键词: 多发性骨髓瘤; miR-17-5p; PTEN

中图分类号: R733.3 **文献标识码:** A **文章编号:** 1671-170X(2020)09-0817-05

doi: 10.11735/j.issn.1671-170X.2020.09.B013

Expression and Clinical Significance of MicroRNA-17-5p and PTEN in Bone Marrow of Patients with Multiple Myeloma

LIU Liang¹, CAI Xiao-hui², WANG Ting², DENG Xiao-lan¹, MENG Fang¹, ZHU Ling¹

(1. Wuxi Branch, Zhongda Hospital Affiliated to Southeast University, Wuxi 214000, China;

2. Changzhou Second People's Hospital, Changzhou 213100, China)

Abstract: [Objective] To study the expression of microRNA-17-5p (miR-17-5p) and phosphatase and tensin homolog(PTEN) in bone marrow of patients with multiple myeloma(MM) and their clinical significance. [Methods] The expressions of miR-17-5p and PTEN in bone marrow of 82 MM patients and 40 healthy subjects were detected by fluorescent real-time quantitative RT-PCR. The correlation of miR-17-5p and PTEN expression with clinicopathological features of MM patients was analyzed. [Results] Compared with the control group, the expression of miR-17-5p in bone marrow tissue of patients with MM was significantly higher, while the expression of PTEN was significantly lower ($t=15.365$ and $11.647, P<0.01$). The expressions of miR-17-5p and PTEN in bone marrow tissue of patients with MM were correlated with DS staging and extramedullary infiltration ($t=9.713, 3.147$ and $8.901, 2.259, P=0.000, 0.002$ and $0.000, 0.027$). There was a significant negative correlation between miR-17-5p and PTEN expression in the bone marrow tissue of patients with MM ($r=-0.611, P<0.001$). There was no significant difference in the relative expression of miR-17-5p and PTEN in the bone marrow of patients with MM before and after chemotherapy ($t=1.590, 1.439, P=0.114, 0.152$). After chemotherapy, miR-17-5p expression was significantly lower($t=2.149, P=0.034$), while PTEN expression was significantly higher ($t=2.252, P=0.026$) than those before chemotherapy in response patients. [Conclusion] The expression of miR-17-5p in bone marrow tissue of MM patients is increased, while the expression of PTEN is decreased. Both of them are correlated with the D-S stage of MM and extramedullary infiltration, which indicates that miR-17-5p and PTEN may be used as markers for diagnosis and treatment of multiple myeloma.

Subject words: multiple myeloma; miR-17-5p; PTEN

多发性骨髓瘤(multiple myeloma, MM)是 B 细

胞恶性增殖性疾病, 其发病率在血液系统恶性肿瘤中排第二位。微小 RNA(microRNA, miR)是长度为 18~25 个核苷酸的 RNA 分子, miRNA 可通过 5' 端的种子序列, 结合靶基因的信使 RNA 3' 非翻译区的

基金项目: 江苏省科技项目(BK20160283)

通信作者: 刘靛, 主治医师, 硕士; 东南大学附属中大医院无锡分院血液肿瘤科, 江苏省无锡市锡山区大成路 1128 号(214000); E-mail: kyoko2046@163.com

收稿日期: 2020-03-18; **修回日期:** 2020-04-02

调控元件,改变信使 RNA 稳定性,进而调控靶基因转录。大量研究发现,miRNA 参与发育分化、肿瘤及免疫等多种病理生理学过程^[1]。miR-17-5p 基因位于 13q31.3,属于 miR-17 家族成员。研究表明,miR-17-5p 能够直接调控癌基因 Myc、激活丝裂原激活的蛋白激酶等多种癌基因的表达,发挥促进肿瘤细胞增殖、浸润转移及抑制细胞凋亡的功能^[2]。磷酸酶和张力蛋白同源物 (phosphatase and tensin homolog, PTEN) 基因位于 10q23.31,其表达的 PTEN 蛋白具有磷酸酯酶的活性,负性调控磷脂酰肌醇 3 激酶 (phosphatidylinositol 3 kinase, PI3K)/ 丝氨酸/苏氨酸激酶 1 (serine/threonine kinase 1, AKT) 信号通路的传导,抑制肿瘤细胞的恶性增殖及迁移,发挥抑制抑癌基因的作用^[3]。研究表明,PTEN 是 miR-17-5p 潜在作用靶点,抑制 miR-17-5p 表达能通过 miR-17-5p/PTEN 轴抑制肿瘤的恶性进展^[4]。本研究通过检测多发性骨髓瘤组织中 miR-17-5p 和 PTEN 表达,初步探讨两者在 MM 发生发展中的作用及临床意义。

1 资料与方法

1.1 临床资料

收集自 2017 年 2 月至 2018 年 2 月期间东南大学附属中大医院无锡分院收治的 MM 患者 82 例 (MM 组)。纳入标准:①MM 诊断均符合 2014 年国际骨髓瘤工作组 MM 诊断标准^[5];②患者以往未接受过任何抗肿瘤治疗;③临床资料和病理资料完整。排除标准:①合并其他血液系统的恶性肿瘤或其他血液系统疾病;②合并免疫系统疾病等;③妊娠、哺乳期妇女。MM 组,男性 46 例、女性 36 例;年龄 36~75 岁,平均年龄 (55.6±6.3) 岁;细胞学类型:成熟浆细胞型 15 例,幼浆细胞型 41 例,原浆细胞型 9 例,网状细胞型 17 例;髓外浸润 20 例,无髓外浸润 62 例;Durie-Salmon (D-S) 分期: I 期 7 例, II 期 35 例, III 期 40 例;β₂-微球蛋白 (β₂-MG) < 4mg/L 38 例, ≥ 4mg/L 44 例;初治患者 57 例,复发/难治患者 25 例。选择 40 例骨髓象正常的门诊患者的骨髓穿刺标本作为对照,其中男性 25 例、女性 15 例,年龄 37~73 岁,平均年龄 (54.2±6.1) 岁。两组在性别、年龄具有可比性。本研究经医院医学伦理委员会批准,患者或家属已签署知情同意书。

患者初治时均予以 VAD 方案 (长春地辛、表柔比星及地塞米松) 化疗,经 3 个周期化疗后进行疗效评价,参考 2008 年《中国多发骨髓瘤诊治指南》^[6] 疗效评价标准:化疗有效包括完全缓解 (CR)、接近完全缓解 (nCR)、非常好的完全缓解 (VGPR)、部分缓解 (PR) 及微小缓解 (MR);化疗无效包括无变化 (NC) 和疾病进展 (PD)。

1.2 骨髓组织 miR-17-5p、PTEN 表达检测

化疗前取骨髓组织 2~4ml, EDTA 抗凝后生理盐水稀释 4 倍,然后加入 Ficoll 淋巴细胞分离液 4ml, 2000rpm/min 离心 20min,取界面层的骨髓单个核细胞,生理盐水重悬为 1×10⁷/ml 单细胞悬液。应用 CD138+MACS 磁珠 (美国 Biotec 公司) 分离并纯化原代骨髓瘤细胞,台盼蓝染色检测细胞活力均在 95% 以上,流式细胞仪富集后浆细胞比例 > 90%。采用 Trizol 法提取细胞中总 RNA,应用 Nanodrop 检测总 RNA 的浓度及纯度, OD260/OD280 介于 1.8~2.1。将总 RNA 溶于 50μl DEPC 水中。以 5μl 溶于含 DEPC 水的总 RNA 为模板,按逆转录试剂盒说明反转录合成 cDNA,反转录条件 16℃ 30min, 37℃ 30min, 72℃ 10min。以 cDNA 为模板,按 2×SYBR Green Real Time PCR Master Mix 试剂盒说明书进行 qPCR 扩增。miR-17-5p 正向引物序列 5'-CTCT-TACAGTGCAGGTAGAAAA-3', 逆向引物序列 5'-TGCCATCGTCGGCAAAGGAG-3', 以 U6 为内参, U6 正向引物序列 5'-ACGCAAATTCGTGAAGCGTT-3', 逆向引物序列 5'-CGCTCCTGGAGGATGGTGAT-3'; PTEN 正向引物序列: 5'-TGGATTCGACTTAGAC-TTGACCT-3', 逆向引物序列 5'-GGTGGTTATG-GTCTTCAAAGG-3', 以 GAPDH 为内参, GAPDH 正向引物序列 5'-GAAGGTGAAGGTCCGAGTC-3', 逆向引物序列 5'-GAAGATGGTGAT-GGGATTTC-3'。PCR 总反应体系 20μl: 2×PCR Master Mix 10μl, 上游及下游引物各 1μl, cDNA 1μl, DEPC 水 7μl。反应条件: 92℃ 预变性 10min, 95℃ 变性 30s, 62℃ 退火 60s, 70℃ 延伸 40s, 变性退火延伸共 40 个循环。采用 2^{-ΔΔCt} 法计算目的基因相对表达量。

1.3 统计学处理

采用 SPSS20.0 统计软件分析,计量资料以均数±标准差表示,两组比较采用 t 检验。采用 Pearson 相关分析 miR-17-5p 和 PTEN 表达的相关性。P < 0.05

为差异有统计学意义。

2 结果

2.1 化疗前 miR-17-5p、PTEN 表达

MM 组和对照组 miR-17-5p 相对表达量分别为 0.960 ± 0.157 、 0.532 ± 0.114 ；PTEN 相对表达量分别为 0.672 ± 0.126 、 0.961 ± 0.134 。与对照组相比，MM 组化疗前 miR-17-5p 明显较高，而 PTEN 表达明显较低 (t 分别为 15.365、11.647, P 均 < 0.001) (Figure 1)。

2.2 miR-17-5p、PTEN 表达与临床病理特征的关系

MM 患者骨髓组织中 miR-17-5p、PTEN 相对表达量与 D-S 分期及髓外浸润有关 (P 均 < 0.05)，而与性别、年龄、细胞学类型、是否初治及血 β_2 -MG 水平无关 (P 均 > 0.05) (Table 1)。

2.3 miR-17-5p 表达与 PTEN 表达相关性

多发性骨髓瘤患者骨髓组织 miR-17-5p 表相对表达量与 PTEN 相对表达量呈负相关 ($r = -0.611$, $P < 0.001$) (Figure 2)。

2.4 MM 患者化疗前后 miR-17-5p、PTEN 表达变化

MM 患者化疗前后 miR-17-5p、PTEN 相对表达量之间无统计学差异 ($t = 1.590$ 、 1.439 , $P = 0.114$ 、 0.152)。化疗后有效者 61 例，化疗无效者 21 例，化

疗有效患者化疗后 miR-17-5p 表达较化疗前降低 ($t = 2.149$, $P = 0.034$)，而 PTEN 表达升高 ($t = 2.252$, $P = 0.026$)；而化疗无效者化疗前、后 miR-17-5p、PTEN 的相对表达量之间无统计学差异 ($t = 0.167$ 、 1.109 , $P = 0.868$ 、 0.274) (Table 2)。

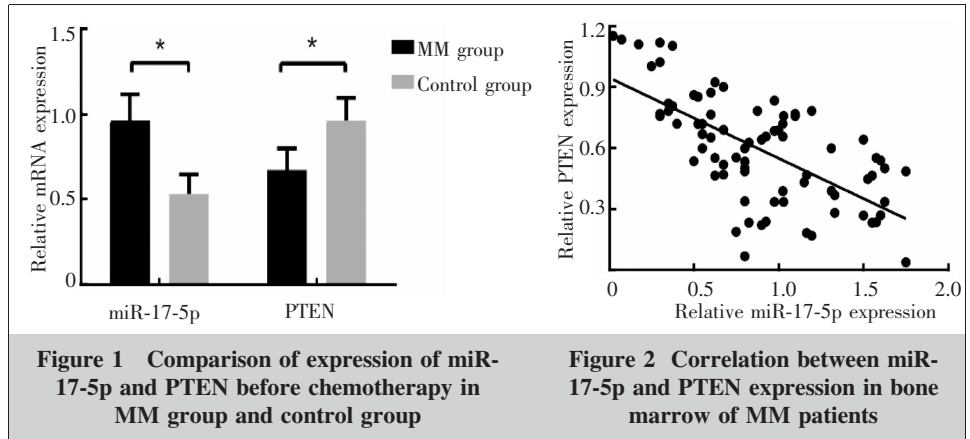


Table 1 Relationship between expression of miR-17-5p, PTEN and clinicopathological characteristics of bone marrow tissue in MM patients

| Clinical features | N | miR-17-5p | | | PTEN | | |
|-----------------------------|----|-------------------|-------|-----------|-------------------|-------|-----------|
| | | $\bar{x} \pm s$ | t/F | P | $\bar{x} \pm s$ | t/F | P |
| Gender | | | | | | | |
| Male | 46 | 0.948 ± 0.153 | 0.775 | 0.441 | 0.664 ± 0.122 | 0.716 | 0.476 |
| Female | 36 | 0.975 ± 0.161 | | | 0.684 ± 0.130 | | |
| Age (years old) | | | | | | | |
| ≤ 60 | 45 | 0.935 ± 0.152 | 1.592 | 0.115 | 0.660 ± 0.123 | 0.996 | 0.322 |
| > 60 | 37 | 0.990 ± 0.160 | | | 0.688 ± 0.131 | | |
| Cytology type | | | | | | | |
| Mature plasma cell type | 15 | 0.974 ± 0.160 | 0.362 | 0.779 | 0.680 ± 0.128 | 2.394 | 0.075 |
| Juvenile plasmacytotype | 41 | 0.943 ± 0.156 | | | 0.653 ± 0.124 | | |
| Protoplasmic type | 9 | 0.993 ± 0.161 | | | 0.775 ± 0.126 | | |
| Reticulocyte type | 17 | 0.971 ± 0.155 | | | 0.660 ± 0.129 | | |
| D-S stage | | | | | | | |
| I ~ II | 42 | 0.793 ± 0.150 | 9.713 | < 0.001 | 0.794 ± 0.129 | 8.901 | < 0.001 |
| III | 40 | 1.136 ± 0.169 | | | 0.546 ± 0.123 | | |
| Whether initial treatment | | | | | | | |
| Initial treatment | 57 | 0.954 ± 0.155 | 0.586 | 0.560 | 0.678 ± 0.128 | 0.559 | 0.578 |
| Relapse / refractory | 25 | 0.976 ± 0.160 | | | 0.661 ± 0.124 | | |
| β_2 -MG (mg/L) | | | | | | | |
| < 4 | 38 | 0.949 ± 0.155 | 0.632 | 0.529 | 0.682 ± 0.128 | 0.610 | 0.544 |
| ≥ 4 | 44 | 0.971 ± 0.159 | | | 0.665 ± 0.124 | | |
| Extramedullary infiltration | | | | | | | |
| Yes | 20 | 1.056 ± 0.161 | 3.147 | 0.002 | 0.617 ± 0.122 | 2.259 | 0.027 |
| No | 62 | 0.930 ± 0.154 | | | 0.691 ± 0.129 | | |

Table 2 Comparison of miR-17-5p and PTEN expression in MM patients before and after chemotherapy

| Group | N | miR-17-5p | | PTEN | |
|--------------------------------|----|---------------------|---------------------|---------------------|---------------------|
| | | Before chemotherapy | After chemotherapy | Before chemotherapy | After chemotherapy |
| MM group | 82 | 0.960 ± 0.157 | 0.922 ± 0.149 | 0.672 ± 0.126 | 0.703 ± 0.124 |
| Chemotherapy ineffective group | 21 | 0.954 ± 0.153 | 0.977 ± 0.154 | 0.663 ± 0.152 | 0.616 ± 0.121 |
| Chemotherapy effective group | 61 | 0.962 ± 0.158 | $0.903 \pm 0.145^*$ | 0.675 ± 0.156 | $0.733 \pm 0.127^*$ |

Compared with before chemotherapy, $^* : P < 0.05$

3 讨论

多发性骨髓瘤 (multiple myeloma, MM) 是浆细胞恶性增殖性疾病, 特点是浆细胞恶性增殖的同时, 分泌产生大量免疫球蛋白或 M 蛋白片段, 中老年患者多见, 大约在血液系统恶性肿瘤中占 10%。浆细胞的恶性增殖、浸润及免疫球蛋白的沉积, 导致广泛的骨质破坏、肾功能障碍等临床表现, 严重威胁人类健康。目前 MM 的治疗主要是联合化疗及造血干细胞移植, 但均无法彻底治愈, 完全缓解率较低, 常规 VAD 及 MP 化疗方案完全缓解率均小于 10%^[7]。因此需深入研究 MM 病因及发病机制, 寻找有利于早期诊断、疗效判断的标志物。

miRNA 是小的非编码 RNA 分子, 能在转录后水平对下游目的基因的表达进行精细调控。miRNA 能与靶基因信使 RNA 的 3' 非翻译区结合, 改变靶基因信使 RNA 稳定性, 影响靶基因的表达。研究发现, miRNA 在胃癌、肺癌等多种恶性肿瘤中均存在异常表达的现象, 并影响肿瘤的发生发展的过程, 有助于肿瘤的早期诊断、治疗及预后判断^[8]。研究表明, miR-17-5p 在 MM 骨髓瘤细胞系中表达水平升高, 并发挥促进肿瘤细胞的增殖、抑制凋亡等功能^[9]。本研究中, MM 组患者骨髓组织中 miR-17-5p 表达明显高于对照组, 其机制可能与 miR-17-5p 启动子的转录调控有关。研究发现, MM 时核因子红细胞 2 相关因子 2 (nuclear factor, erythroid 2 like 2, Nrf-2) 活化, 并能直接结合 miR-17-5p 启动子区域, 并促进 miR-17-5p 表达^[10]。此外, 本研究中 MM 组骨髓组织中 miR-17-5p 表达与 D-S 分期、髓外浸润有关, 分期越高、伴髓外浸润的 MM 患者骨髓组织中 miR-17-5p 表达水平越高, 表明 miR-17-5p 可能参与促进 MM 的恶性进展。在 MM 体外细胞实验中证实, miR-17 表达上调后能够直接促进细胞周期 G₁/S 期的转变, 促进肿瘤细胞增殖, 导致 DS 分期升高^[11], 并能够直接结合并抑制转化生长因子受体 2 表达, 促进肿瘤细胞的侵袭能力, 导致髓外浸润^[12]。本研究进一步分析化疗前后 miR-17-5p 变化, 化疗有效患者化疗后骨髓中 miR-17-5p 表达较化疗前降低, 而化疗无效患者变化不明显, 表明骨髓组织中 miR-17-5p 表达水平变化可能有助于反映化疗疗效, 有望成为预测化疗疗效的标志物。有学者报道, 检测外周血外泌体

中 miR-17-5p 水平变化能够预测 MM 患者硼替佐米化疗疗效及耐药性的发生^[13]。

PTEN 又称为张力样磷酸酶-1, 其编码蛋白是蛋白酪氨酸磷酸酶家族成员, 使磷脂酰肌醇-3,4,5-三磷酸 (phosphatidylinositol -3,4,5-triphosphate, PIP3) 去磷酸化失活。PIP3 是细胞中的重要第二信使, 能够激活下游信号分子, 促进细胞增殖、血管生成等。近年来大量发现, PTEN 基因是一种重要的抑癌基因, 在乳腺癌、肺癌等恶性肿瘤中均发现 PTEN 异常表达降低或缺失的现象, 促进肿瘤的发生发展^[14]。本研究中, MM 患者骨髓中 PTEN 表达明显低于对照组, 表明 MM 中 PTEN 表达降低, 其原因可能与 PTEN 转录或转录后调控异常有关。MM 时负调控 PTEN 表达的反式作用因子如核蛋白-1 (nuclear protein 1, NUPR-1) 能够结合并抑制 PTEN 基因启动子的活性, 降低 PTEN 表达^[15]。此外, MM 组骨髓中多药耐药基因 (multidrug resistance gene 1, MDR1) 表达与 D-S 分期及髓外浸润有关, 分期较高、伴髓外浸润的 MM 患者 PTEN 表达水平较低, 表明 PTEN 的表达可能参与 MM 发生发展。其机制可能是 PTEN 的表达受到 miRNA 转录后调控的影响。研究发现, miR-20a 能够结合于 PTEN 信使 RNA 的 3'UTR 区, 负性调控 PTEN 表达后, 激活 PI3K/AKT 信号通路的传导, 促进 MM 细胞增殖及迁移^[16]。本研究中, 化疗有效患者化疗后骨髓中 PTEN 表达较化疗前升高, 而化疗无效患者变化不明显。其原因可能与不同 MM 患者 PTEN 表达降低机制不同有关, 化疗有效患者中可能主要以 PTEN 基因的突变为主, PTEN 基因突变增加了化疗药物的敏感性^[17], 而化疗无效患者尚存在其他激活 PI3K/AKT 信号通路的机制, 该通路激活促进了化疗耐药或抵抗性的产生^[18]。因此, 有必要深入研究 MM 中调控 PTEN 表达上游机制, 寻找关键的诊断治疗靶点。miRNA 是转录后调控 PTEN 基因表达的重要机制。本研究初步分析 MM 患者骨髓组织中 miR-17-5p 与 PTEN 表达相关性, 两者呈负相关。目前其机制尚不清楚, 但在胃癌^[19]、鼻咽癌^[20]等肿瘤中均发现 PTEN 基因受 miR-17-5p 调控, miR-17-5p 结合 PTEN 基因 mRNA 的 3'UTR 区, 抑制 PTEN 表达, 从而促进肿瘤的恶性进展, 但两者是否在 MM 中亦存在相互作用有待深入研究。

综上所述, MM 患者骨髓组织中 miR-17-5p 表达

升高,而 PTEN 表达水平降低,两者均与 D-S 分期及髓外浸润有关,共同参与 MM 发生发展过程,有望成为多发性骨髓瘤疗效判断的肿瘤标志物,对于两者的具体作用机制及临床意义有待进一步研究。

参考文献:

- [1] Martinez B, Peplow PV. MicroRNAs as disease progression biomarkers and therapeutic targets in experimental autoimmune encephalomyelitis model of multiple sclerosis[J]. *Neural Regen Res*, 2020, 15(10):1831-1837.
- [2] Xi G, Hayes E, Lewis R, et al. CD133 and DNA-PK regulate MDR1 via the PI3K-or Akt-NF- κ B pathway in multidrug-resistant glioblastoma cells in vitro [J]. *Oncogene*, 2016, 35(2):241-250.
- [3] Sa R, Song H, Wei M, et al. MiR-616 plays oncogenic role in hepatocellular carcinoma progression through suppressing PTEN expression and activating PI3K/AKT pathway[J]. *Artif Cells Nanomed Biotechnol*, 2020, 48(1):728-734.
- [4] Shan SW, Fang L, Shatseva T, et al. Mature miR-17-5p and passenger miR-17-3p induce hepatocellular carcinoma by targeting PTEN, GalNT7 and vimentin in different signal pathways[J]. *J Cell Sci*, 2013, 126(Pt 6):1517-1530.
- [5] Rajkumar SV, Dimopoulos MA, Palumbo A, et al. International Myeloma Working Group updated criteria for the diagnosis of multiple myeloma [J]. *Lancet Oncol*, 2014, 15(12):e538-e548.
- [6] China multiple myeloma working group. Guidelines for the diagnosis and treatment of multiple myeloma in China[J]. *Chinese Journal of Internal Medicine*, 2008, 47(10):869-872. [中国多发性骨髓瘤工作组. 中国多发性骨髓瘤诊治指南[J]. *中华内科杂志*, 2008, 47(10):869-872.]
- [7] Joshua DE, Bryant C, Dix C, et al. Biology and therapy of multiple myeloma[J]. *Med J Aust*, 2019, 210(8):375-380.
- [8] Yonemori K, Kurahara H, Maemura K, et al. MicroRNA in pancreatic cancer[J]. *J Hum Genet*, 2017, 62(1):33-40.
- [9] Liu Y. The effect and significance of rmhTRAIL combined with bortezomib on miR-17-5p and miR-886-5p in multiple myeloma cell lines[D]. Zhengzhou: Zhengzhou University. [刘阳. rmhTRAIL 联合硼替佐米对多发性骨髓瘤细胞株中 miR-17-5p 和 miR-886-5p 的影响及其意义[D]. 郑州: 郑州大学.]
- [10] Kong Y, Hu L, Lu K, et al. Ferroportin downregulation promotes cell proliferation by modulating the Nrf2-miR-17-5p axis in multiple myeloma[J]. *Cell Death Dis*, 2019, 10(9):624.
- [11] Wang SY, Xu RR, Huang HM, et al. Effect of MiR-17-3P on the proliferation of multiple myeloma cells[J]. *Journal of Transportation Medicine*, 2015, 29(1):4-6. [王顺业, 徐瑞容, 黄红铭, 等. MiR-17-3P 对多发性骨髓瘤细胞增殖的影响[J]. *交通医学*, 2015, 29(1):4-6.]
- [12] Cai N, Hu L, Xie Y, et al. MiR-17-5p promotes cervical cancer cell proliferation and metastasis by targeting transforming growth factor- β receptor 2[J]. *Eur Rev Med Pharmacol Sci*, 2018, 22(7):1899-1906.
- [13] Zhang L, Pan L, Xiang B, et al. Potential role of exosome-associated microRNA panels and in vivo environment to predict drug resistance for patients with multiple myeloma [J]. *Oncotarget*, 2016, 7(21):30876-30891.
- [14] Ngeow J, Sesock K, Eng C. Breast cancer risk and clinical implications for germline PTEN mutation carriers [J]. *Breast Cancer Res Treat*, 2017, 165(1):1-8.
- [15] Zeng C, Li X, Li A, et al. Knockdown of NUPR1 inhibits the growth of U266 and RPMI8226 multiple myeloma cell lines via activating PTEN and caspase activation dependent apoptosis[J]. *Oncol Rep*, 2018, 40(3):1487-1494.
- [16] Jiang Y, Chang H, Chen G. Effects of microRNA-20a on the proliferation, migration and apoptosis of multiple myeloma via the PTEN/PI3K/AKT signaling pathway [J]. *Oncol Lett*, 2018, 15(6):10001-10007.
- [17] Shi Y, Gera J, Hu L, et al. Enhanced sensitivity of multiple myeloma cells containing PTEN mutations to CCI-779 [J]. *Cancer Res*, 2002, 62(17):5027-5034.
- [18] Wang L, Lin N, Li Y. The PI3K/AKT signaling pathway regulates ABCG2 expression and confers resistance to chemotherapy in human multiple myeloma[J]. *Oncol Rep*, 2019, 41(3):1678-1690.
- [19] Lu R, Zhao G, Yang Y, et al. Long noncoding RNA HO-TAIRM1 inhibits cell progression by regulating miR-17-5p/PTEN axis in gastric cancer[J]. *J Cell Biochem*, 2019, 120(4):4952-4965.
- [20] Hu Z, Zhou S, Luo H, et al. miRNA-17 promotes nasopharyngeal carcinoma radioresistance by targeting PTEN/AKT [J]. *Int J Clin Exp Pathol*, 2019, 12(1):229-240.